

# Методики

УДК 612.816+002.7

## Устройство для локального охлаждения нервов

В. Б. Феник

В электрофизиологическом эксперименте на животных часто необходимо блокировать проведение возбуждения по периферическим нервам. Это осуществляют различными способами: перерезкой нерва, наложением лигатуры, локальной анестезией [3], применением анодного блока [7], локальным нагреванием [4] и локальным охлаждением нерва [2, 5, 6]. Наиболее часто используют последний метод блокирования, поскольку холодовая блокада проведения возбуждения по нервам достигается за сравнительно короткое время и практически не повреждает нерв. Ее осуществляют в основном двумя способами: в одном случае нерв охлаждают трубчатым элементом, через который протекает охлаждающая жидкость, во втором — используют полупроводниковый микрохладитель, степень охлаждения которого зависит от потребляемого тока. В практике электрофизиологического эксперимента чаще пользуются вторым способом, так как он позволяет создавать электронные схемы управления рабочим током микрохладителя и быстрее изменять температуру охлаждающего элемента в случае необходимости.

В настоящей работе для избирательной обретимой блокады проведения возбуждения по нервным волокнам использовали изготовленное нами охлаждающее устройство. Оно состоит из собственно охладителя и электронной схемы управления рабочим током полупроводникового микрохладителя.

Охладитель (рис. 1, а) конструктивно выполнен в виде отдельного выносного узла на основе микрохладителя ТЭМО-5. Посредством деталей корпуса (8), изготовленных из материала со слабой теплопроводностью (фторопласт), медная пластинка (5) плотно прижимается к охлаждающейся поверхности микрохладителя (1). Узкий (6 мм) рабочий конец пластины изогнут и образует паз, изнутри покрытый слоем серебра, с которым непосредственно контактирует поверхность нерва. Теплоизоляция пластины выполнена из пенопласта (4). В одной из деталей корпуса, прилегающей к нагревающейся поверхности микрохладителя, выполнено углубление, которое в сборе всей конструкции охладителя образует герметичную полость (7). Через входной и выходной патрубки (6) в полости создается непрерывный ток охлаждающей жидкости. С помощью держателя (2) охладитель укрепляется в непосредственной близости от охлаждаемого нерва. Длина медной пластины выбрана такой, чтобы добиться наибольшей эффективности охлаждения нерва, не загромождая при этом экспериментальное поле, в котором располагаются другие приспособления (при увеличении длины пластины снижается эффективность охлаждения и поэтому требуется дополнительная теплоизоляция тепловода). Для измерения температуры в зоне охлаждения нерва и обеспечения обратной связи со схемой электронной стабилизации охлаждения в пазу рабочей части пластины укреплен термистор СТ 1-18 (3).

Принципиальная схема управления рабочим током микрохладителя изображена на рис. 1, б. Она представляет собой пропорционально-интегрально-дифференциальный (ПИД) регулятор с мощным выходом и схемой сравнения. При работе устройства напряжение с дели-

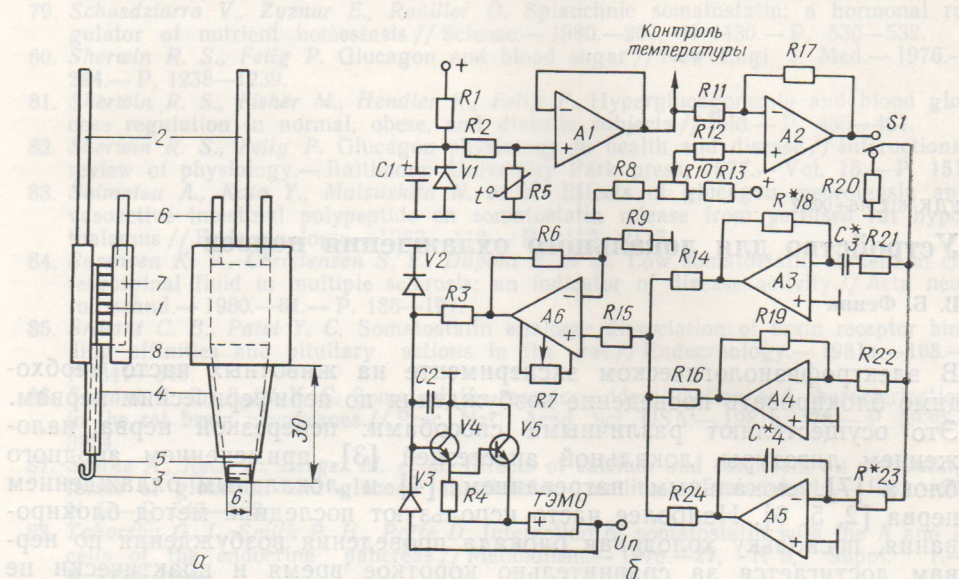


Рис. 1. Устройство для локального охлаждения нервов:

*a* — схематическое изображение охладителя (*1* — твердотельный электронный микроохладитель ТЭМО-5, *2* — металлический держатель, *3* — терморезистор СТ 1-18, *4* — теплоизоляция из пенопласта, *5* — медная пластина, *6* — патрубки, *7* — полости для охлаждающей жидкости, *8* — корпус), проводники не показаны; *b* — принципиальная схема управления рабочим током микроохладителя ( $R1 = 620\text{ Ом}$ ;  $R2 = 120\text{ кОм}$ ;  $R3, R4, R16, R20, R24 = 2\text{ кОм}$ ;  $R4 = 100\text{ Ом}$ ;  $R5 = \text{СТ 1-18}$ ;  $R16 = 620\text{ кОм}$ ;  $R7 = 6,8\text{ кОм}$ ;  $R8, R13 = 1,5\text{ кОм}$ ;  $R9, R15, R21 = 10\text{ кОм}$ ;  $R10 = 1\text{ кОм}$ ;  $R11, R12, R17, R19, R22 = 100\text{ кОм}$ ;  $R18, R23 = 1,5\text{ МОМ}$ ;  $C1 = 20\text{ мкФ} \times 15\text{ В}$ ;  $C2 = 1\text{ мкФ}$ ;  $C3, C4 = 4,7\text{ мкФ}$ ;  $VI = D818E$ ;  $V2, V3 = D9B$ ;  $V4 = K7815B$ ;  $V5 = K7808A$ ;  $A1, A2, A3, A4, A5, A6 = K140УД6$ ), элементы, обозначенные звездочкой, подбираются при настройке.

теля  $R2$ ,  $R5$ , зависящее от сопротивления термистора  $R5$ , через повторитель напряжения, собранный на операционном усилителе (ОУ)  $A1$ , поступает на инвертирующий вход ОУ  $A2$ , который производит вычитание этого сигнала из опорного напряжения, задаваемого потенциометром  $R10$ . Разностный сигнал поступает на ПИД-регулятор, собранный на ОУ  $A3$ — $A6$ . Принцип работы, расчет и настройка ПИД-регуляторов подробно описаны ранее [1]. Усилитель мощности собран на транзисторах  $V4$ ,  $V5$ , включенных по схеме Дарлингтона и помещенных на радиатор с площадью поверхности не менее  $250 \text{ мм}^2$ .

Настройка схемы управления заключается в подборе конденсаторов  $C3$ ,  $C4$ , резисторов  $R18$ ,  $R23$  и установке на выходе ОУ  $A6$  напря-

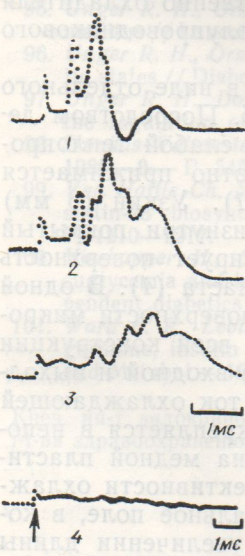


Рис. 2. Изменения сложного потенциала действия блуждающего нерва при 25 (1), 15 (2), 10 (3) и 6 (4) °C. Осциллограммические записи получены в результате накопления отдельных разрядов ( $n=400$ ). Стрелкой указан артефакт стимуляции.

жения, составляющего —5 В с помощью переменного резистора  $R_7$  при установке переключателя  $S1$  в положение «выкл.», как показано на схеме. Напряжение  $Un$  на усилитель мощности подается от источника питания с рабочим током не менее 6 А и подбирается таким, чтобы

максимальный то-  
пустимого значен-  
включения охлаж-

Управление пасивной симметрии разности пропорциональным, задаваемым ним, обеспечивает исходит пассивно-эффективное

Эффективнос-  
тных волокна  
блуждающем нер-  
вым наркозом (2-  
нerv (БН) на пр-  
го участка нерва  
помощью которы-  
ствола нерва. Ст-  
ским импульсам  
дался весь спект-  
вой блокады про-  
метра судили по  
потенциала дейст-  
вия.

На рис. 2 по различной температуре около  $10^{\circ}\text{C}$  правильный отражающий волокон. При этом ПД, создаваемый такой амплитудой малькой температурой блокады проведены на сопряженные волокнах, где возникновение дисперсия определения возбуждения около  $6^{\circ}\text{C}$ . Во проводимости в охлаждении.

Таким образом  
вает надежную  
буждения в не-  
участок охлажде-  
саным Patberg  
ется меньшими  
его для охлажд-  
электронной схемы

## A DEVICE FOR LOCATING

V. B. Fenik  
A device described i  
conduction in differen

A. A. Bogomoletz Inst.  
Academy of Sciences

1. Титце У., Шенк К.
  2. Glowcki K., Roma  
lation and cold b  
35 N 5/6.—P. 43.

максимальный ток через микроохладитель не превышал предельно допустимого значения для данного типа. Переключатель  $S_1$  служит для включения охлаждения.

Управление рабочим током микроохладителя основано на компенсации разности напряжений между напряжением на выходе ОУ  $A_1$ , пропорциональным температуре рабочей части охладителя, и напряжением, задаваемым потенциометром  $R_{10}$ . Таким образом, это напряжение обеспечивает требуемое охлаждение нерва. Отогревание нерва происходит пассивно после выключения охлаждения переключателем  $S_1$ .

Эффективность холодовой блокады проведения возбуждения в нервных волокнах с помощью предлагаемого устройства проверяли на блуждающем нерве кошек. С этой целью у животных под нембуталовым наркозом (40 мг/кг) препарировали левый шейный блуждающий нерв (БН) на протяжении до 30 мм. По обе стороны от охлаждаемого участка нерва накладывали биполярные серебряные электроды, с помощью которых осуществляли стимуляцию и отведение активности ствола нерва. Стимуляцию нерва производили одиночными электрическими импульсами длительностью 0,1 мс и силой, при которой возбуждался весь спектр волокон БН. О наступлении избирательной холодовой блокады проведения возбуждения в волокнах определенного диаметра судили по исчезновению соответствующего компонента сложного потенциала действия (ПД) БН.

На рис. 2 показана динамика изменения формы сложного ПД при различной температуре охлаждаемого участка БН. При температуре около 10°C практически полностью исчезает первый компонент ПД, отражающий возбуждение наиболее толстых миелинизированных волокон. При этом более отчетливо проявляются поздние компоненты ПД, создаваемые волокнами меньшим диаметром и маскируемые высокой амплитудой первых компонентов суммарного ПД нерва при нормальной температуре. Отмечая высокую эффективность холодовой блокады проведения при понижении температуры, необходимо указать и на сопряженное с этим уменьшение скорости проведения возбуждения в волокнах. Об этом свидетельствует увеличение латентного периода возникновения всех компонентов вызванного ПД и более выраженная дисперсия отдельных компонентов ответа. Полная блокада проведения возбуждения во всех волокнах БН развивалась при температуре около 6°C. Во время отогревания нерва отмечалось восстановление проводимости в волокнах, зеркально отражавшее ее изменение при охлаждении.

Таким образом, конструкция предлагаемого устройства обеспечивает надежную избирательную обратимую блокаду проведения возбуждения в нервных волокнах, несмотря на относительно малый участок охлаждения нерва. По сравнению с подобным устройством, описанном Patberg и соавт. [6], предлагаемое устройство характеризуется меньшими габаритами рабочей части, что позволяет использовать его для охлаждения более коротких нервов, а также более простой электронной схемой управления рабочим током микроохладителя.

#### A DEVICE FOR LOCAL COOLING OF NERVES

V. B. Fenik

A device described in the paper permits selectively and reversibly blocking excitation conduction in different groups of fibers of nerves under study.

A. A. Bogomoletz Institute of Physiology,  
Academy of Sciences of the Ukrainian SSR, Kiev

1. Титце У., Шенк К. Полупроводниковая схемотехника.—М.: Мир, 1983.—512 с.
2. Glowcki K., Romaniuk J. R. Differentiation of respiratory reflexes by electrical stimulation and cold blockade of the vagus nerve in rabbits // Acta physiol. pol.—1984.—35, N 5/6.—P. 432—441.

## CONTENTS

### Papers

3. Heavner J. E., De Jong R. H. Lidocaine blocking concentrations for B and C fibres // Anesthesiology.—1974.—40, N 3.—P. 228—229.
4. Klumpp D., Zimmermann M. Irreversible differential block of A and C fibres following local nerve heating in the cat // J. Physiol., London.—1980.—298, N 2.—P. 471—482.
5. Patberg W. R. Effect of graded vagal blockade and pulmonary volume on tonic inspiratory activity in rabbits // Pflügers Arch. ges. Physiol.—1983.—398, N 1.—P. 88—92.
6. Patberg W. R., Melchior H. J., Mast J. G. Blocking of impulse conduction in peripheral nerves by local cooling as a routine in animal experimentation // J. Neurosci. Meth.—1984.—10, N 2.—P. 267—275.
7. Sassen M., Zimmermann M. Differential blocking of myelinated fibres by transient depolarization // Pflügers Arch. ges. Physiol.—1973.—341, N 1.—P. 179—195.

Ин-т физиологии им. А. А. Богомольца  
АН УССР, Киев

Поступила 18.06.86

- Khomazyuk A. I., Effect of the  
Kuzmin A. I., Effect of the  
techolamine a  
Koridze M. G., K  
Sleep-Wakefu  
Kirayazova T. Kh., Layer in the  
Kokshareva N. V., of the Brain  
Pokotilenko A. K., tation in Gui  
Butusova I. A., Ya  
Gastrin App  
Bezvershenko I. A., Response Stim  
Influence of  
Shvydchenko S. I., stances on the  
Timko N. A., Kutse  
citation Cond  
rent Age Per  
Kruk I. V., Certain cohism  
Bronstein Yu. L., linal Stress  
Baran M. A., Raits Reactions in  
Sobolev V. I., Lape  
racting Muscl  
Sobolev N. I. Effe  
Andrenergic l  
Zvershkhanskyy Dismutase an  
Kramarev S. A., K  
ultural-Functio  
Affected by S  
Belyakov N. A., La  
Solomenikov pan Adsorbent  
Kalishevskaya T. M nation of Fil  
hydroergotoxi  
Burchinsky S. G. S Development

### Brief Notes

- Lyashenko K. P. M  
Kostyuk E. P. Sig  
siological Re

### Procedures

- Fenik V. B. A Dev

## НОВЫЕ КНИГИ ИЗДАТЕЛЬСТВА «НАУКОВА ДУМКА»

Кривенко В. В., Потебня П. П. ИРИДОЛОГИЯ И ЕЕ ЗНАЧЕНИЕ ДЛЯ ФИТОТЕРАПИИ.—10 л.—1 р. 50 к. План 1988. № 460 (III квартал)

Монография посвящена актуальным вопросам иридодиагностики, еще мало распространенного, но очень перспективного метода распознавания болезней по изменениям стromы и хроматофорных клеток радужной оболочки глаза. Рассматриваются данные о радужной оболочке глаза как о проекционной зоне человеческого организма, о значении наследственности и ее отражении на радужке. Описываются иридологические знаки при воспалительно-дегенеративных и токсико-дистрофических процессах, различных заболеваниях желудочно-кишечного тракта. Представлены сведения о восстановительном действии определенных комплексов лекарственных растений на цветовую гамму радужки.

Для физиологов, патофизиологов, практических врачей.

Заказать это издание можно в магазине издательства «Наукова думка» (252001 Киев 1, ул. Кирова, 4), который высылает книги иногородним заказчикам наложенным платежом.

Индивидуальные покупатели должны оформлять заказы на почтовых открытках, где указываются автор и название книги, номер по плану, необходимое число экземпляров и адрес, по которому должно быть отправлено заказанное издание. Организации и предприятия оформляют заказы гарантными письмами.

Прием предварительных заказов в магазине издательства прекращается за три месяца до выхода издания в свет.

Своевременное оформление заказов — гарантия приобретения заинтересовавшей Вас книги.

CONTENTS

**Papers**

<i>Khomazyuk A. I., Neshcheret A. P., Shepelenko I. V., Derevyanko L. P.</i> On the Effect of the Heart Blood Supply on Its Contractility	3
<i>Kuzmin A. I., Shulzhenko V. S., Anosova O. B., Medvedev O. S., Kapelko V. I.</i> Effect of the Total Cardiac Ischemia Duration on Myocardium Release of Catecholamine and Adenine Nucleotide Metabolites at Reperfusion	9
<i>Koridze M. G., Kavkaside M. G.</i> Effect of Food and Water Deprivation on the Sleep-Wakefulness Cycle Structure	17
<i>Kiryazova T. Kh., Tarantenko V. D.</i> Participation of Neural Elements of the First Layer in the Spread of Excitation in the Cerebral Auditory Cortex of the Cat	23
<i>Kokshareva N. V., Badaeva L. N.</i> Structural-Functional Changes in Different Areas of the Brain and Spinal Cord Caused by Dioxacarb	27
<i>Pokotilenko A. K., Chudnovsky S. I., Polyakov A. N., Chaika S. P.</i> Cochlear Implantation in Guinea Pigs with Experimentally Evoked Deafness	32
<i>Butusova I. A., Yaremenko M. S., Ivashivka S. V., Ilina T. A.</i> Activation of the Gastrin Apparatus in Rats by Water «Naftusa» and Its Separate Components	38
<i>Bezvushenko I. A., Sinelnikova A. I., Bykova L. M., Boyko M. G.</i> The Antibody Response Stimulation by Receptor Structures of Thymocytes Shed Under the Influence of Oligopeptide Thymic Factor	43
<i>Shvydchenko S. I., Kushnir L. V., Groisman S. D.</i> The Effect of $\beta$ -Adrenoactive Substances on the Secretory Function of Stomach	47
<i>Timko N. A., Kutsenko B. S.</i> The Motor Response to Light and the Velocity of Excitation Conduction along a Peripheral Nerve in Men and Women in Different Age Periods	50
<i>Kruk I. V.</i> Certain Peculiarities of Emotional Sphere in Women with Chronic Alcoholism	56
<i>Bronstein Yu. L., Raitses V. S.</i> Dynamics of Vestibular Nystagmus Under Emotional Stress	59
<i>Baran M. A., Raitses V. S.</i> Influence of Intravenous Alcohol Injection on Vestibular Reactions in Rabbits	63
<i>Sobolev V. I., Lapenko N. T., Fastovets V. A.</i> Changes in the Temperature of Contracting Muscle in White Rats with Experimental Athyreosis	67
<i>Sobolev N. I.</i> Effect of Multiple Isopropyl Norepinephrine Injections on Certain Adrenergic Reactions in White Rats	71
<i>Zvershkhankovsky F. A., Vainshtein S. G., Simonyan S. A.</i> Exogenous Superoxide Dismutase and Secretory Function of the Stomach	74
<i>Kramarev S. A., Kovalchuk V. K.</i> Ultrastructural Analysis of Changes in the Structural-Functional Modulus of Mucous Membrane of the Small Intestine as Affected by Salmonollosis Toxin in the Experiment	78
<i>Belyakov N. A., Levanova V. P., Shabalova L. F., Sirotina V. V., Smirnova L. A., Solomennikov A. V., Boiko T. A., Gvozdeva E. N.</i> Effect of Enteral Polyphepan Adsorbent Applied for a Long Time on the Homeostasis System	83
<i>Kalishevskaya T. M., Golubeva M. G., Bashkov G. V., Vinter V. B.</i> Effect of Combination of Fibrinolysis, Heparin and Fibrinolysin-Heparin Complex with Dihydroergotoxin on Thrombolysis	88
<i>Burchinsky S. G.</i> Scientometrical Analysis of Modern Trends of the Aging Biology Development	93

**Brief Notes**

<i>Lyashenko K. P.</i> Mechanisms for Regulation of Immunological Memory	101
<i>Kostyuk E. P.</i> Significance of Glucagon, Somatostatin and Somatotropin in Physiological Regulation of Carbohydrate Balance	109

**Procedures**

<i>Fenik V. B.</i> A Device for Local Cooling of Nerves	119
---	-----